



PME 3100 – Mecânica I

Forças Distribuídas

Prof. Francisco J. Profito
fprofito@usp.br



Conteúdo

1. Motivação e Objetivos
2. Forças Distribuídas
3. Sistemas de Forças Paralelas
4. Centro de Gravidade, Centro de Massa e Baricentro
5. Hidrostática
6. Referências



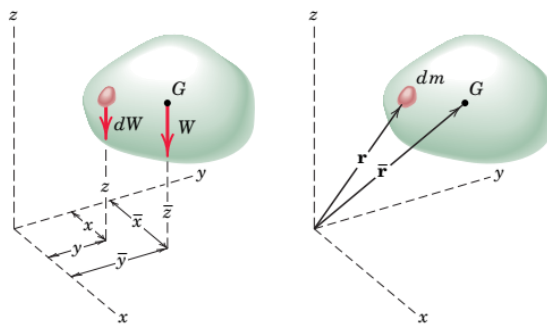
Conteúdo

- 1. Motivação e Objetivos**
2. Forças Distribuídas
3. Sistemas de Forças Paralelas
4. Centro de Gravidade, Centro de Massa e Baricentro
5. Hidrostática
6. Referências

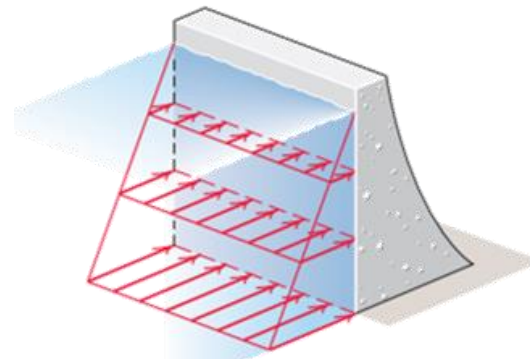


□ Motivação e Objetivos

- Apresentar os conceitos de forças distribuídas, em especial sistemas de forças paralelas.
- Apresentar os conceitos de centro de gravidade, centro de massa e centroide.
- Determinar a posição do centro de massa de corpos com geometrias arbitrárias e de corpos compostos por partes finitas.
- Calcular a força resultante e o centro de pressão de forças hidrostáticas atuantes em superfícies planas (corpos submersos, comportas, barragens, etc.).



Exemplos de sistemas de forças paralelas. Forças gravitacionais e definição de centro de gravidade de corpos materiais (esquerda). Forças hidrostáticas atuantes em uma barragem de contenção (direita). Fonte: [1].



Barragem de contenção de água.



Barragem de rejeito. Fonte: Minuto Engenharia

Barragem de rejeitos de mineração.



Conteúdo

1. Motivação e Objetivos
- 2. Forças Distribuídas**
3. Sistemas de Forças Paralelas
4. Centro de Gravidade, Centro de Massa e Baricentro
5. Hidrostática
6. Referências



□ Forças Distribuídas

- **Forças distribuídas:** são forças aplicadas em **todos os pontos** de uma linha, superfície ou volume de um corpo material.
- **Forças concentradas:** são forças aplicadas em **pontos específicos** de um corpo material.
 - Forças desse tipo não existem na realidade, pois uma força aplicada mecanicamente a um corpo é **distribuída** em uma área de contato finita do corpo.
 - Quando essa área de contato é **pequena em relação às dimensões do corpo**, as forças distribuídas de contato podem ser **representadas** pela sua resultante aplicada (“concentrada”) em um ponto específico da área de contato.
 - Uma força pode ser **admitida como concentrada** quando se deseja analisar seu efeito **externo global** (estática e dinâmica) sobre o corpo ao qual é aplicada.

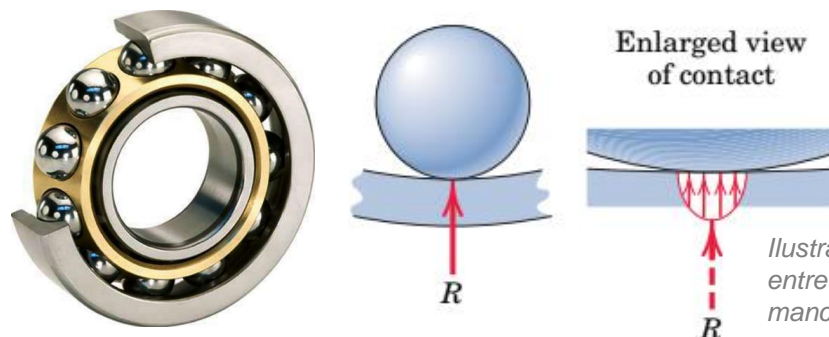


Ilustração das forças distribuídas de contato entre uma esfera e a pista externa de um mancal de rolamentos carregado. Fonte: [1].

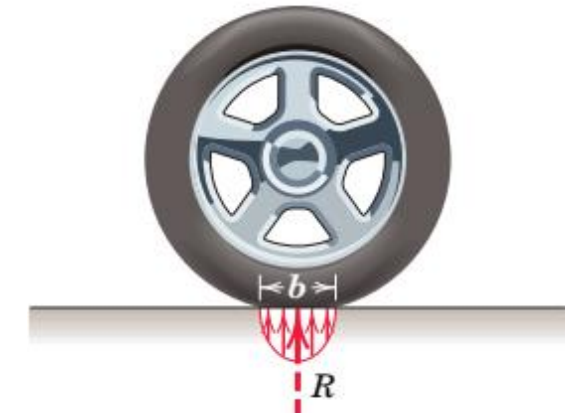


Ilustração das forças distribuídas aplicadas pelo pavimento a um pneu de automóvel na área de contato. Fonte: [1].

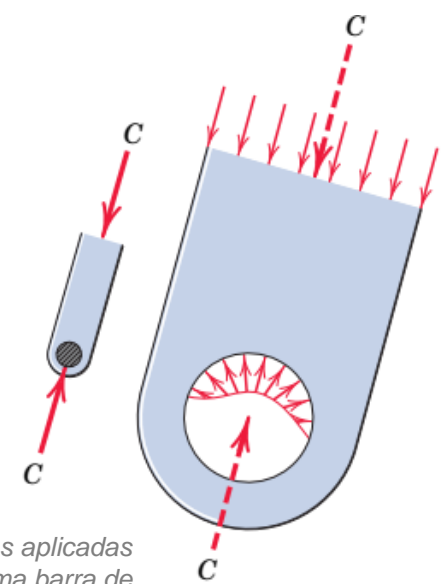
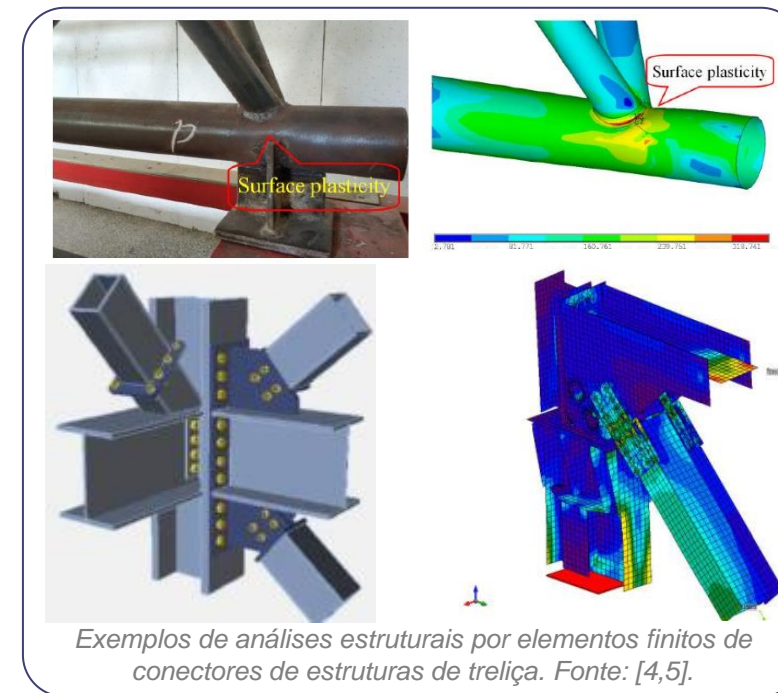
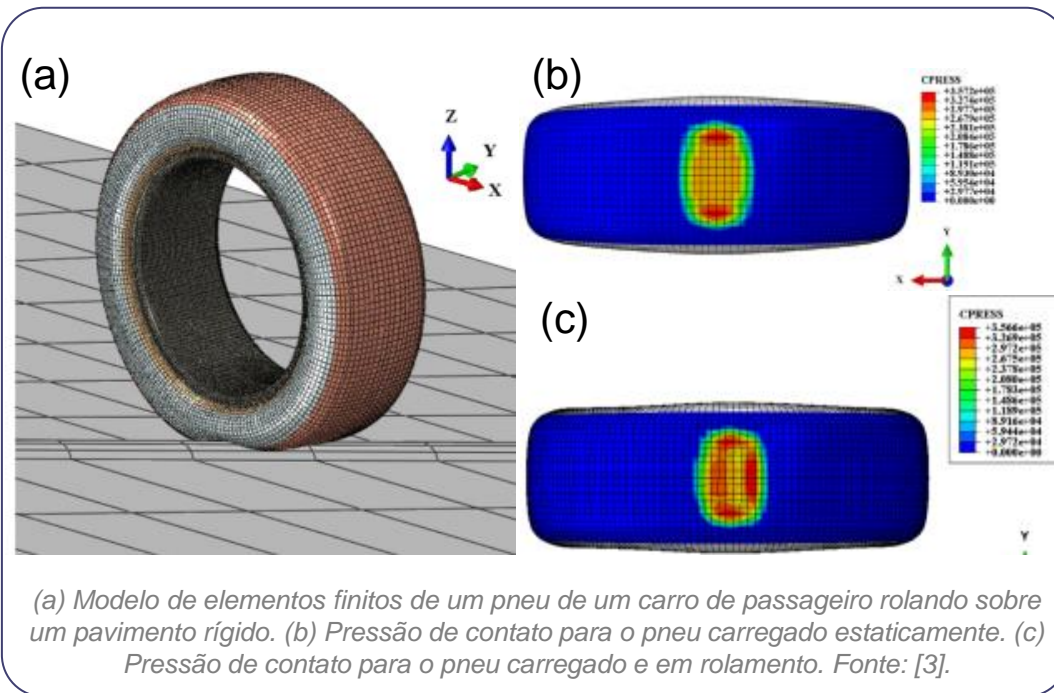


Ilustração das forças distribuídas aplicadas pelo pino da articulação de uma barra de trilícia em compressão,. Fonte: [1].



□ Forças Distribuídas

- Para análises cujo interesse são os efeitos da **distribuição local** dos esforços em torno das áreas de contato, os carregamentos não podem mais ser admitidos como concentrados.
 - A distribuição real dos carregamentos nas regiões de contato deve ser considerada;
 - Nessas condições, as tensões e deformações internas do material são importantes;
 - Tópicos tratados em outras disciplinas, como Mecânica dos Sólidos.





□ Forças Distribuídas

- Quando forças são aplicadas sobre uma região cujas dimensões **não são desprezíveis em relação às dimensões do corpo**, deve-se considerar a distribuição real das forças sobre a região de interesse.
- Efeitos globais determinados pelo somatório (integração) das forças aplicadas sobre a região;
 - Requer o conhecimento da intensidade das forças em cada ponto da região;
 - Três categorias de problemas são identificadas nesses casos:
 - Distribuição linear. Ex.: peso próprio de cabos suspensos. $[N/m]$
 - Distribuição de área. Ex.: pressão hidrostática sobre barragens, comportas e corpos submersos, pressão hidrodinâmica em mancais, pressão aerodinâmica em asas de aviões e aerofólios. $[N/m^2] = [Pa]$
 - Distribuição volumétrica. Ex. forças gravitacionais e eletromagnéticas. $[N/m^3]$
 - Forças distribuídas:
 - **não** são necessariamente paralelas entre si
 - **não** são necessariamente normais à superfície
 - podem ser de tração ou compressão

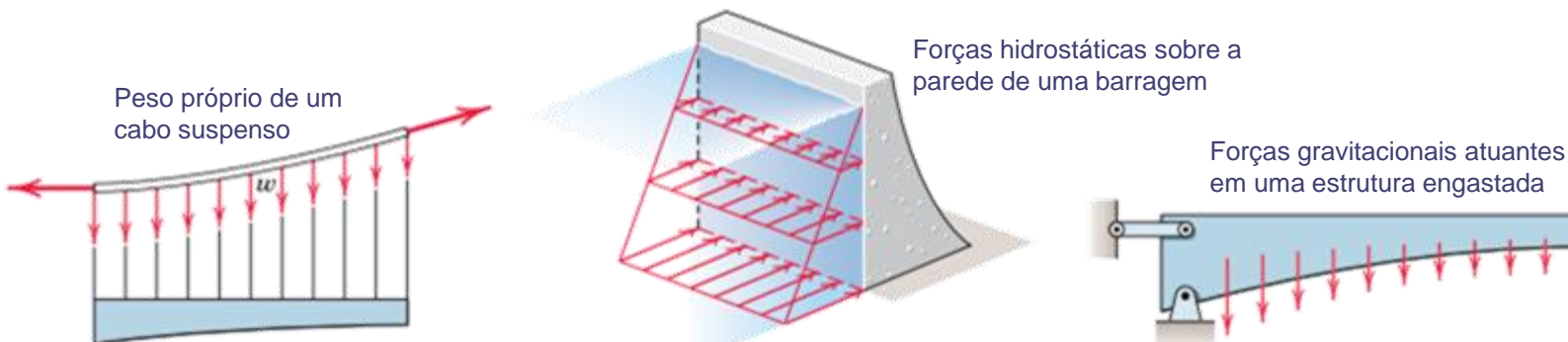
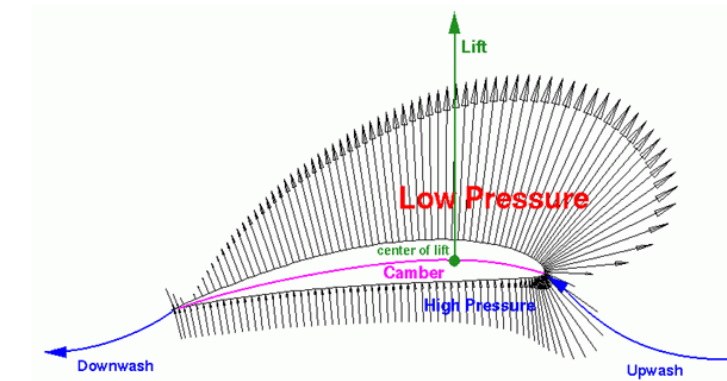


Ilustração de forças distribuídas ao longo de uma linha, área e volume. Fonte: [1].



Distribuição de pressão sobre a superfície de um aerofólio.



Conteúdo

1. Motivação e Objetivos
2. Forças Distribuídas
- 3. Sistemas de Forças Paralelas**
4. Centro de Gravidade, Centro de Massa e Baricentro
5. Hidrostática
6. Referências



□ Sistemas de Forças Paralelas

- Considere um corpo \mathcal{B} sujeito ao seguinte sistema de forças paralelas de qualquer natureza:

$$\mathbb{S} = (\vec{F}_i, P_i) = (f_i \vec{u}, P_i), \quad i = 1, 2, \dots, n$$

- Força resultante:

$$\vec{R} = \sum_{i=1}^n \vec{F}_i = \sum_{i=1}^n (f_i \vec{u}) = \underbrace{\left(\sum_{i=1}^n f_i \right)}_R \vec{u} \Rightarrow \vec{R} = R \vec{u}, \quad \vec{R} \parallel \vec{u}$$

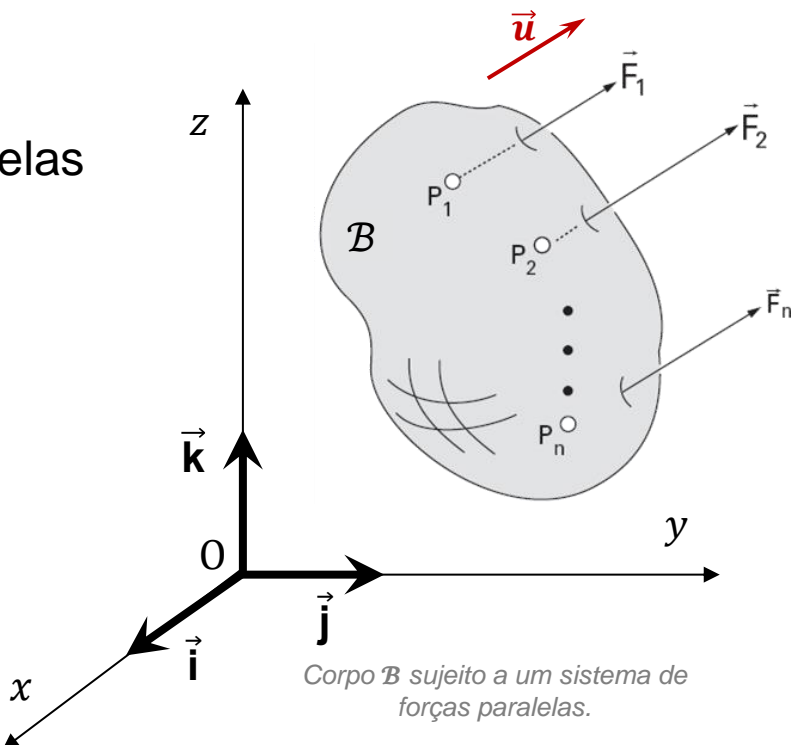
- Momento resultante:

$$\vec{M}_0 = \sum_{i=1}^n (P_i - 0) \wedge \vec{F}_i = \sum_{i=1}^n (P_i - 0) \wedge (f_i \vec{u}) = \underbrace{\left(\sum_{i=1}^n (P_i - 0) f_i \right)}_{\vec{m}_0} \wedge \vec{u} \Rightarrow \vec{M}_0 = \vec{m}_0 \wedge \vec{u}, \quad \vec{M}_0 \perp \vec{R}$$

- Invariante escalar:

$$I = \vec{M}_0 \cdot \vec{R} = (\vec{m}_0 \wedge \vec{u}) \cdot (R \vec{u}) = 0$$

$\begin{cases} I = 0 \\ \vec{R} \neq \vec{0} \end{cases}$ Sistema Redutível
a uma Única Força



Corpo \mathcal{B} sujeito a um sistema de forças paralelas.

- Qualquer sistema de **forças paralelas** é redutível a uma única força;
- Em quais pontos \vec{R} pode ser aplicado para que o sistema se reduza a uma única força (momento nulo)? Eixo Central!



□ Centro de Forças Paralelas

- Os polos de **momento nulo** de um sistema de forças paralelas correspondem aos pontos do seu Eixo Central:

$$(E - 0) = \frac{\vec{R} \wedge \vec{M}_0}{\|\vec{R}\|^2} + \lambda \vec{R}, \quad \lambda \in \mathbb{R}$$

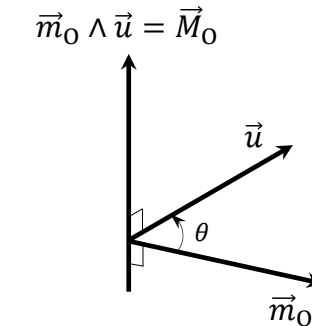
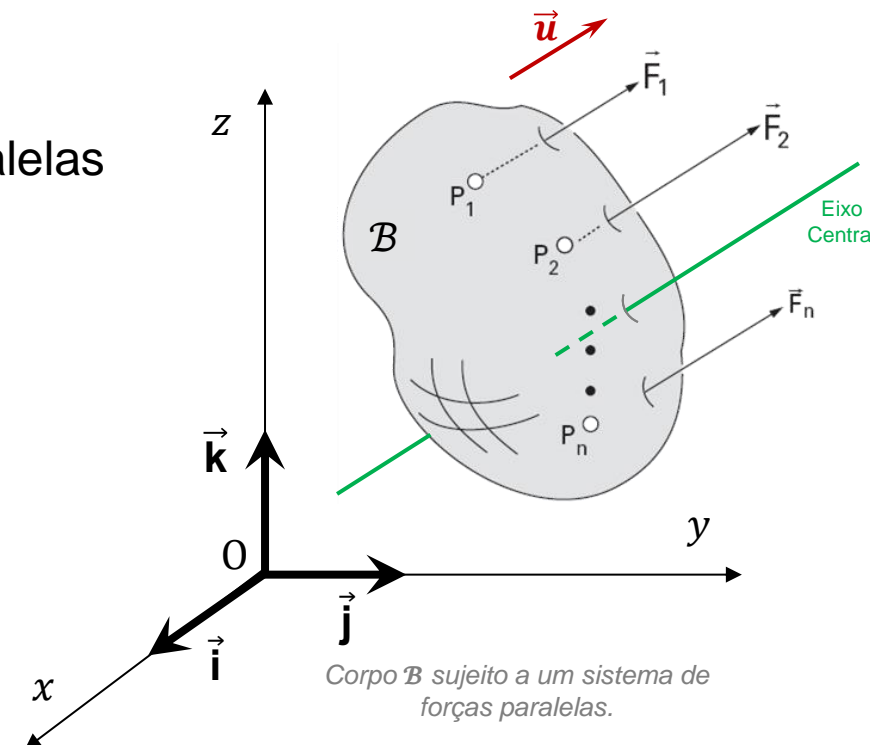
- Substituindo \vec{R} e \vec{M}_0 obtidos anteriormente na expressão do Eixo Central acima:

$$(E - 0) = \frac{(R\vec{u}) \wedge (\vec{m}_0 \wedge \vec{u})}{R^2} + \underbrace{\lambda R\vec{u}}_{= \lambda^*} = \frac{\vec{u} \wedge (\vec{m}_0 \wedge \vec{u})}{R} + \lambda^* \vec{u}, \quad \lambda^* \in \mathbb{R}$$

- É possível demonstrar que $\vec{u} \wedge (\vec{m}_0 \wedge \vec{u}) = \vec{m}_0$. Adicionalmente, substituindo \vec{m}_0 e R na expressão acima, tem-se:

$$(E - 0) = \frac{\vec{m}_0}{R} + \lambda^* \vec{u} \Rightarrow \underbrace{(E - 0)}_{\text{Polos de momento nulo (Eixo Central)}} = \frac{\sum_{i=1}^n (P_i - O)f_i}{\sum_{i=1}^n f_i} + \lambda^* \vec{u}, \quad \lambda^* \in \mathbb{R}$$

Polos de momento nulo (Eixo Central)



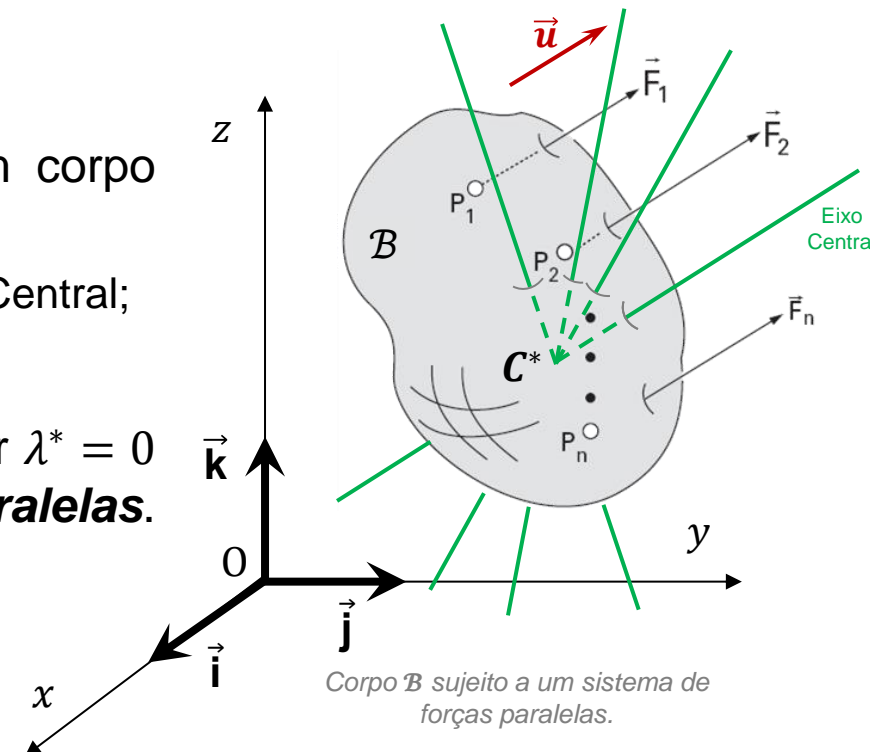


□ Centro de Forças Paralelas

- A redução de um sistema de forças paralelas atuantes em um corpo material a uma única força depende:
 - da **orientação** das forças paralelas que determina a direção do Eixo Central;
 - do ponto do Eixo Central escolhido para a redução.
- De todos os pontos possíveis do Eixo Central, o ponto definido por $\lambda^* = 0$ é **único e independe da orientação do sistema de forças paralelas**. Matematicamente:

$$(C^* - 0) = \frac{\sum_{i=1}^n (P_i - 0) f_i}{\sum_{i=1}^n f_i}$$

C^* = centro de forças paralelas



- Resumindo:
 - Um sistema de forças paralelas pode ser reduzido a uma única força (\vec{R}) aplicada no ponto C^* ;
 - O momento resultante com respeito a C^* é nulo ($\vec{M}_{C^*} = \vec{0}$), pois C^* pertence ao Eixo Central de um sistema de esforços caracterizado por $I = 0$ e $\vec{R} \neq \vec{0}$ (momento mínimo nulo);
 - O ponto C^* é único e independe da orientação das forças paralelas.



Conteúdo

1. Motivação e Objetivos
2. Forças Distribuídas
3. Sistemas de Forças Paralelas
- 4. Centro de Gravidade, Centro de Massa e Baricentro**
5. Hidrostática
6. Referências



□ Centro de Gravidade

- Considere um sistema de esforços constituído pelas forças gravitacionais (peso) atuantes em cada partícula de massa m_i que compõem um corpo \mathcal{B} .
- Admitindo que as forças gravitacionais em cada partícula são **paralelas entre si**, o sistema de forças paralelas estabelecido é dado por:

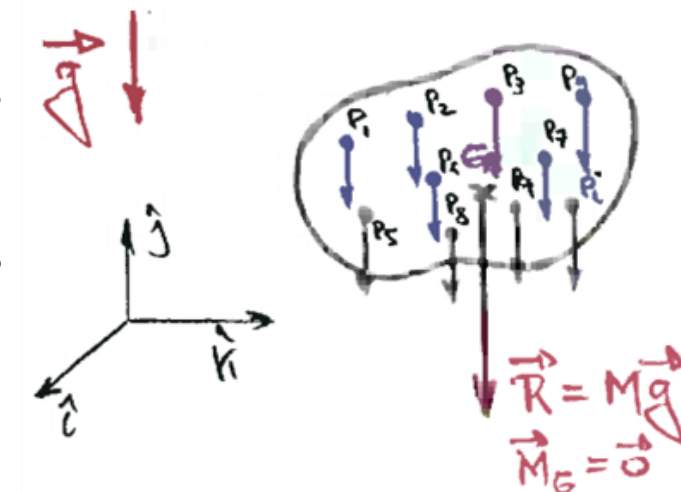
$$\mathbb{S} = (\vec{W}_i, P_i) = (m_i g_i \vec{u}, P_i) \text{ com } \vec{u} \parallel \vec{g}, \quad i = 1, 2, \dots, n$$

- Substituindo $f_i = m_i g_i$ na expressão do centro de forças paralelas obtida anteriormente, tem-se:

$$(G^* - 0) = \frac{\sum_{i=1}^n m_i g_i (P_i - 0)}{\underbrace{\sum_{i=1}^n (m_i g_i)}_{\text{Peso total do corpo (W)}}}$$

$$(G^* - 0) = \frac{\sum_{i=1}^n m_i g_i (P_i - 0)}{W}$$

G^* = centro de gravidade



- Em geral, a posição do centro de gravidade de um corpo depende da orientação e magnitude da aceleração da gravidade atuante em cada partícula do corpo.



□ Centro de Massa e Baricentro (Centroide)

- Para corpos com dimensões reduzidas em relação à Terra, tanto a orientação quanto a magnitude da aceleração da gravidade podem ser admitidas constantes em cada partícula (i.e. $\vec{g}_i = g_i \vec{u}_i \approx g \vec{u} = \text{constante}$).
- Dessa forma, a expressão do centro de gravidade é simplificada, como segue:

$$(G - 0) = \frac{\sum_{i=1}^n m_i(P_i - 0)}{\sum_{i=1}^n m_i}$$

Massa total do corpo (M)

$$(G - 0) = \frac{\sum_{i=1}^n m_i(P_i - 0)}{M}$$

G = centro de massa (depende da **distribuição de massa** do corpo)

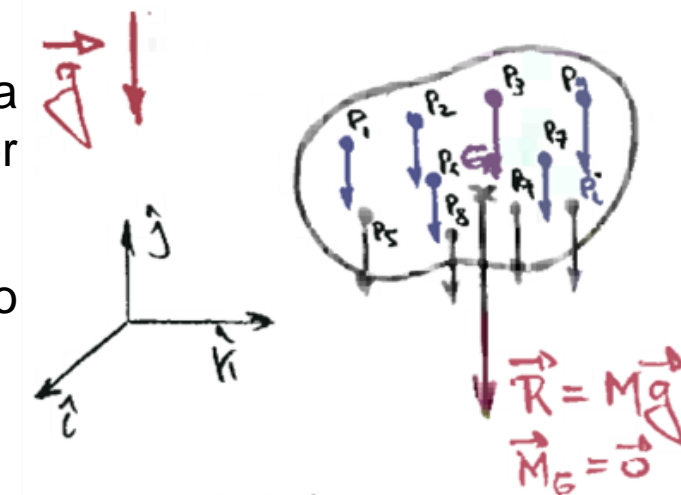
- Fisicamente, o sistema de esforços constituído pelas forças gravitacionais atuantes em cada partícula de um corpo pode ser reduzido a uma única força (peso) aplicada no centro de massa do corpo.
- Considerando que $m_i = \rho_i V_i = \rho V_i$ para corpos homogêneos (i.e. $\rho_i \equiv \rho \equiv \text{constante}$), a expressão do centro de massa é simplificada, como segue:

$$(C - 0) = \frac{\sum_{i=1}^n V_i(P_i - 0)}{\sum_{i=1}^n V_i}$$

Volume total do corpo (V)

$$(C - 0) = \frac{\sum_{i=1}^n V_i(P_i - 0)}{V}$$

C = baricentro ou centroide (depende da **geometria** do corpo / propriedade geométrica do corpo)





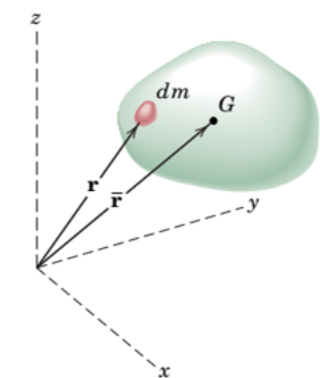
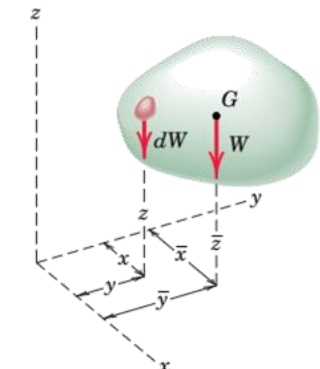
□ Centro de Massa e Baricentro (Centroide)

- Considerando um sistema de coordenadas cartesianas, e representando os vetores posição em termos de suas componentes na base ortonormal ($\hat{i}, \hat{j}, \hat{k}$), tem-se:

$$(P_i - O) = x_i \hat{i} + y_i \hat{j} + z_i \hat{k} \quad (G - O) = x_G \hat{i} + y_G \hat{j} + z_G \hat{k}$$

$$\begin{aligned} x_G &= \frac{\sum_{i=1}^n m_i x_i}{M} & \Rightarrow & \quad x_G = \frac{\int x \rho dV}{M} \\ y_G &= \frac{\sum_{i=1}^n m_i y_i}{M} & \Rightarrow & \quad y_G = \frac{\int y \rho dV}{M} \\ z_G &= \frac{\sum_{i=1}^n m_i z_i}{M} & \Rightarrow & \quad z_G = \frac{\int z \rho dV}{M} \end{aligned}$$

$$\begin{aligned} x_C &= \frac{\sum_{i=1}^n V_i x_i}{V} & \Rightarrow & \quad x_C = \frac{\int x dV}{V} \\ y_C &= \frac{\sum_{i=1}^n V_i y_i}{V} & \Rightarrow & \quad y_C = \frac{\int y dV}{V} \\ z_C &= \frac{\sum_{i=1}^n V_i z_i}{V} & \Rightarrow & \quad z_C = \frac{\int z dV}{V} \end{aligned}$$



Centro de massa de um corpo contínuo. Fonte: [1].

- As definições de centro de gravidade, centro de massa e baricentro são **conceitualmente** distintas:
- Corpo sujeito a campo gravitacional constante em orientação e magnitude: centro de gravidade = centro de massa ($G^* \equiv G$)
 - Corpo homogêneo: centro de massa = baricentro ou centroide ($G \equiv C$)



□ Exercício 1

SAMPLE PROBLEM 5/2

Centroid of a triangular area Determine the distance \bar{h} from the base of a triangle of altitude h to the centroid of its area.

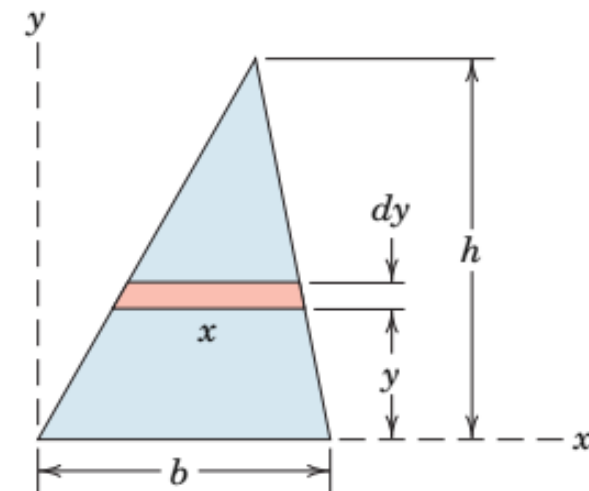
Solution The x -axis is taken to coincide with the base. A differential strip of area $dA = x dy$ is chosen. ① By similar triangles $x/(h - y) = b/h$. Applying the second of Eqs. 5/5a gives

$$[A\bar{y} = \int y_c dA] \quad \frac{bh}{2} \bar{y} = \int_0^h y \frac{b(h-y)}{h} dy = \frac{bh^2}{6}$$

and

$$\bar{y} = \frac{h}{3} \quad \text{Ans.}$$

This same result holds with respect to either of the other two sides of the triangle considered a new base with corresponding new altitude. Thus, the centroid lies at the intersection of the medians, since the distance of this point from any side is one-third the altitude of the triangle with that side considered the base.



HELPFUL HINT

- ① We save one integration here by using the first-order element of area. Recognize that dA must be expressed in terms of the integration variable y ; hence, $x = f(y)$ is required.

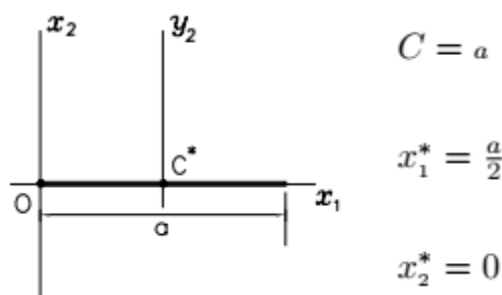


□ Baricentro de Figuras Planas

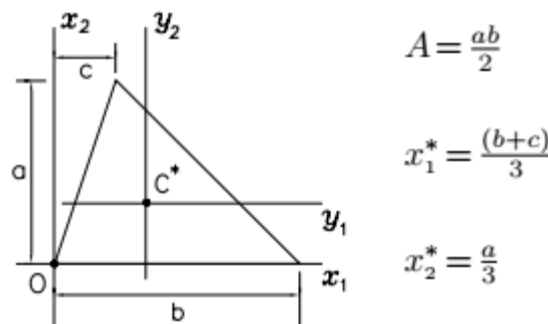
Atenção para os sistemas de coordenadas

Fonte: [2]

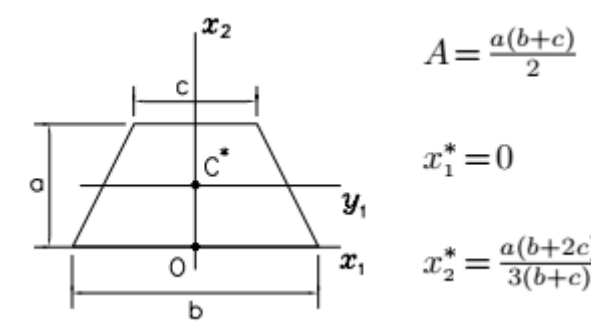
Barra linear



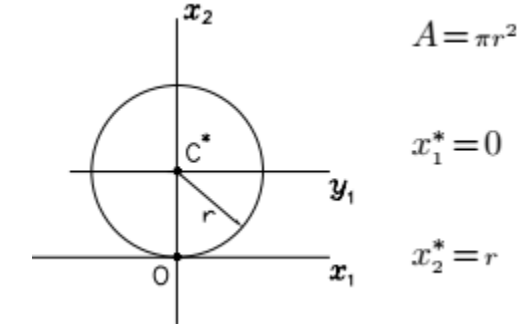
Triângulo



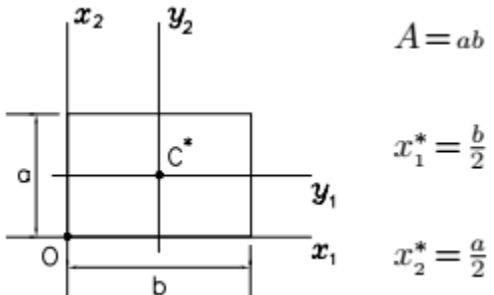
Trapézio Isósceles



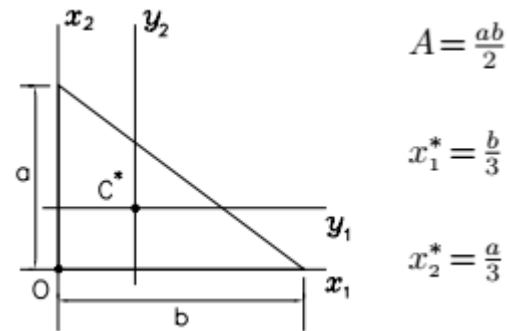
Círculo



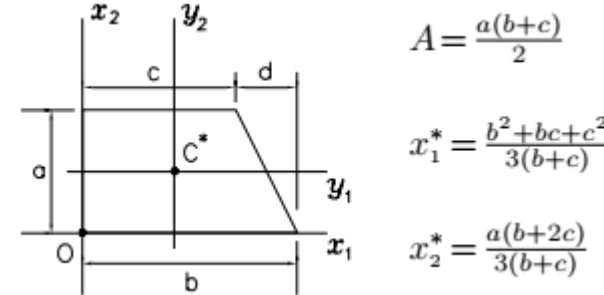
Retângulo



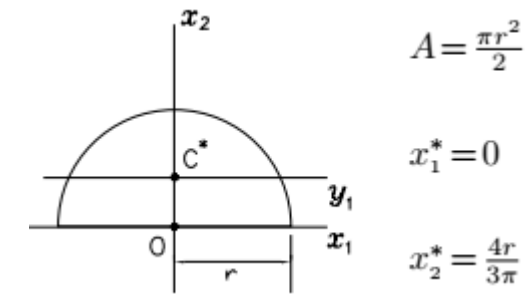
Triângulo Reto



Trapézio Reto



Semi-Círculo





□ Propriedades do Centro de Massa

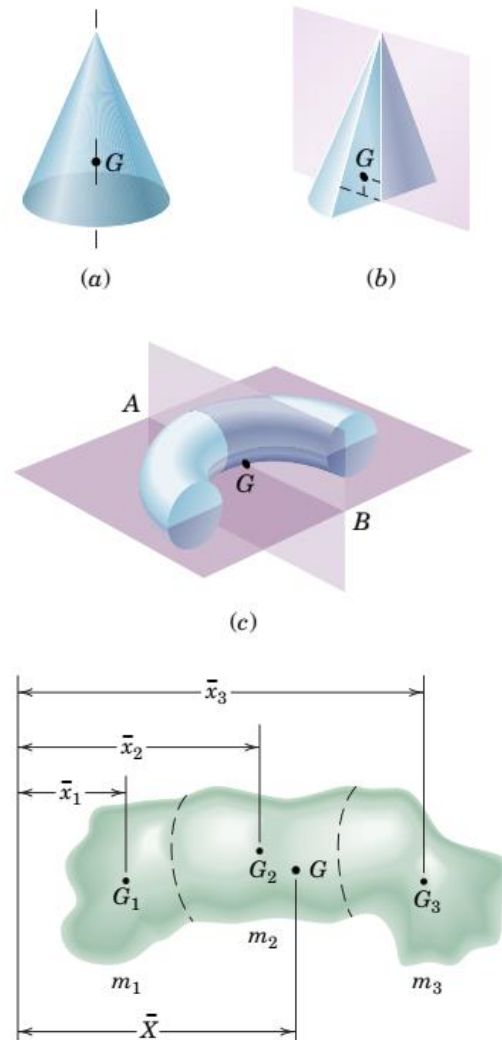
- **Simetria:** Se um corpo **homogêneo** possui algum elemento de simetria (plano ou reta), o centro de massa do corpo é localizado sobre esse elemento de simetria.
- **Composição de corpos:** Se um corpo pode ser convenientemente dividido em partes cujos centros de massa são facilmente determinados, cada parte pode ser tratada como um elemento finito do corpo.
 - Para um corpo composto pela soma (ou subtração) de p partes, o centro de massa pode ser calculado, como segue:

$$(G - 0) = \frac{\sum_{i=1}^p m_i(G_i - 0)}{M}$$

$$(G - 0) = \frac{\sum_{i=1}^p V_i(G_i - 0)}{V}$$

onde m_i (V_i) é a massa (volume) e $(G_i - 0)$ o vetor posição do centro de massa de **cada parte**, e M (V) é a massa (volume) **total** do corpo.

- Atenção para quando uma cavidade (ou furo) é considerada como parte do corpo. Nesse caso, a massa correspondente deve ser tratada com uma grandeza **negativa** (remoção de material).



Propriedades de simetria (acima) e composição (abaixo) do centro de massa. Fonte: [1].

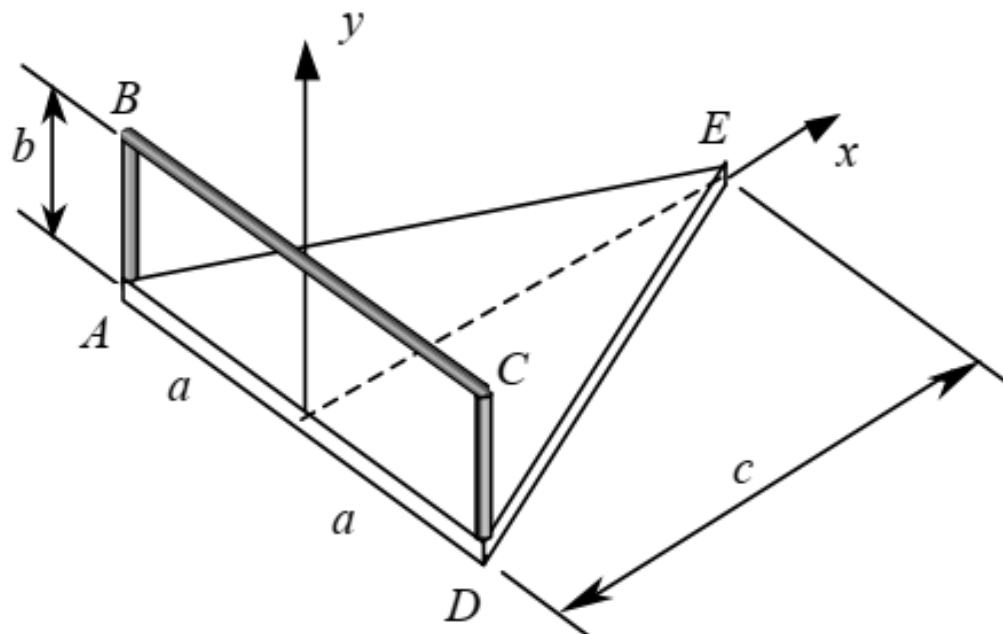


□ Exercício 2

2000 – P1 – Q2

Questão 2

A placa triangular AED tem massa $3m$, as barras AB e CD tem massa m (cada uma) e a barra BC tem massa $2m$. Todos os sólidos são homogêneos.



- Determine as coordenadas do baricentro da placa triangular AED . **(0,5)**
- Determine as coordenadas do baricentro da barra $ABCD$. **(1,0)**
- Determine as coordenadas do baricentro do sólido composto pela placa AED e pela barra $ABCD$. **(1,0)**



□ Exercício 2 (cont.)

2000 – P1 – Q2

a) Placa:

$$\bar{x}_P = \frac{c}{3}$$
$$\bar{y}_P = 0$$
$$\bar{z}_P = 0$$

b) Barra:

$$\bar{x}_B = 0$$
$$\bar{y}_B = \frac{m \cdot \frac{b}{2} + 2m \cdot b + m \cdot \frac{b}{2}}{m + 2m + m} = \frac{3mb}{4m}$$

$$\bar{y}_B = \frac{3b}{4}$$

$$\bar{z}_B = 0$$

c) Sólido composto:

$$\bar{x}_S = \frac{3m \cdot \frac{c}{3} + 4m \cdot 0}{3m + 4m} = \frac{mc}{7m}$$

$$\bar{x}_S = \frac{c}{7}$$

$$\bar{y}_S = \frac{3m \cdot 0 + 4m \cdot \frac{3b}{4}}{3m + 4m} = \frac{3mb}{7m}$$

$$\bar{y}_S = \frac{3b}{7}$$

$$\bar{z}_S = 0$$



Conteúdo

1. Motivação e Objetivos
2. Forças Distribuídas
3. Sistemas de Forças Paralelas
4. Centro de Gravidade, Centro de Massa e Baricentro
- 5. Hidrostática**
6. Referências



□ Hidrostática

- Hidrostática diz respeito ao estudo de fluidos (líquidos e gases) em **repouso**. Nestas condições:
 - a pressão em qualquer ponto do fluido é de **compressão** e igual em **todas** as direções (Lei de Pascal);
 - as forças distribuídas exercidas pelo fluido são **normais** às superfícies de corpos submersos, **independente da geometria dos corpos**;
 - a magnitude da pressão do fluido (ou pressão hidrostática) depende da distância vertical medida em relação ao nível da superfície do fluido;
 - para fluidos incompressíveis ($\rho = \text{constante}$), a variação da pressão hidrostática com a distância vertical em relação ao nível de um reservatório é dada pela **Lei Fundamental da Hidrostática**:

$$p = p_0 + \rho gh$$

p = pressão do fluido (hidrostática) [Pa]

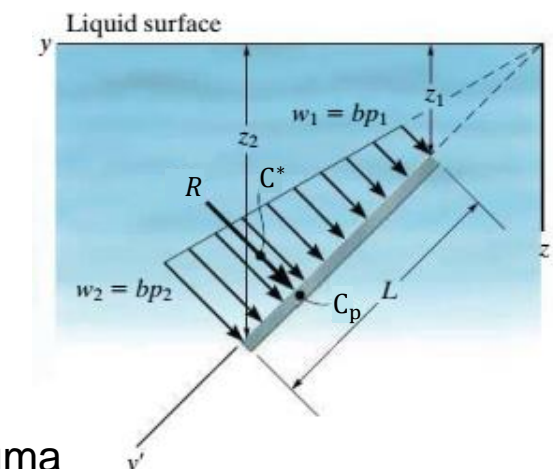
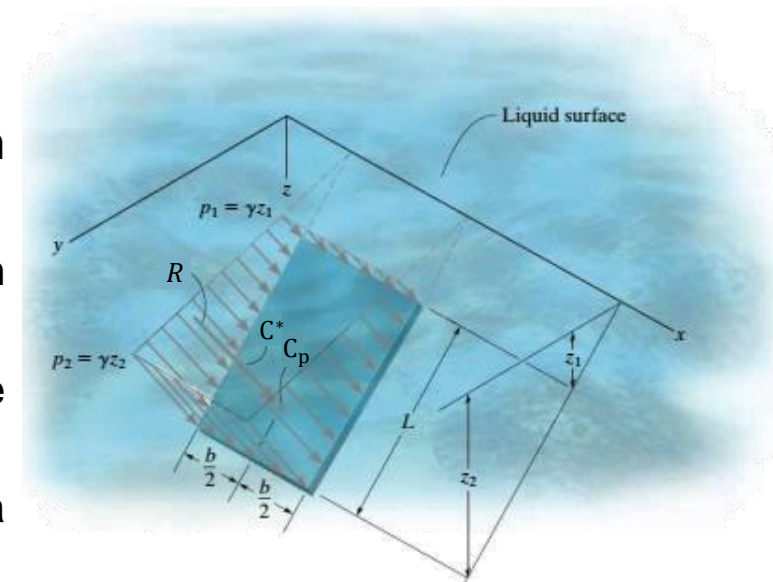
p_0 = pressão atmosférica [Pa]

ρ = densidade do fluido [kg/m^3]

g = aceleração da gravidade [m/s^2]

h = distância em relação à superfície do fluido [m]

- Para sistemas abertos a atmosfera, p_0 atua em todas as superfícies, gerando uma resultante nula. Nessas condições, pode-se considerar $p = \rho gh$ (pressão relativa).



Placa rectangular submersa sujeita a forças hidrostáticas. Fonte: adaptado de [6].



□ Hidrostática

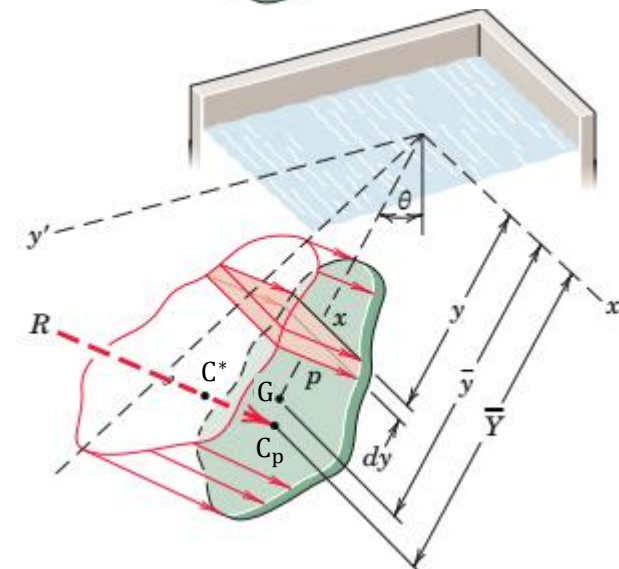
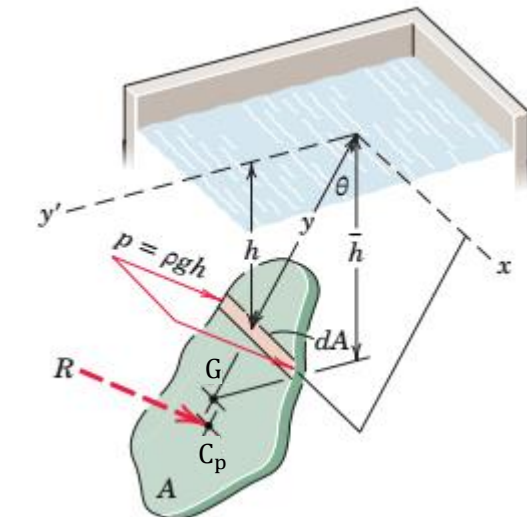
➤ Superfícies Planas com Geometria Genérica

- A ação da pressão hidrostática sobre **superfícies planas** com geometrias genéricas (largura variável) submersas constitui um **sistema de forças paralelas** distribuídas sobre a superfície (ou sistema de forças hidrostáticas);
- Todos os conceitos de sistemas de forças paralelas se aplicam a esses casos.
- A **magnitude** da força resultante desse sistema de forças pode ser calculado, como segue:

$$R = \sum_{i=1}^n R_i = \sum_{i=1}^n p_i A_i \quad n \rightarrow \infty \quad R = \int p(x, y) dA$$

Somatório das forças hidrostáticas
em cada fatia da superfície

Volume do prisma de
pressões



Superfície plana de geometria genérica submersa e sujeita a forças hidrostáticas. Fonte: adaptado de [1].

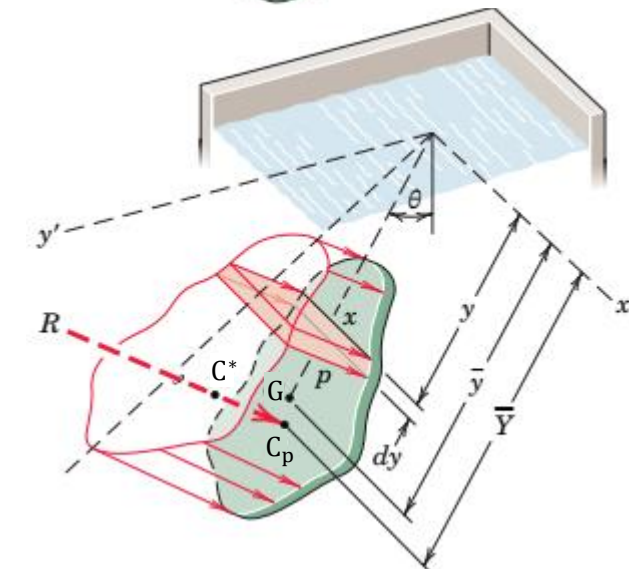
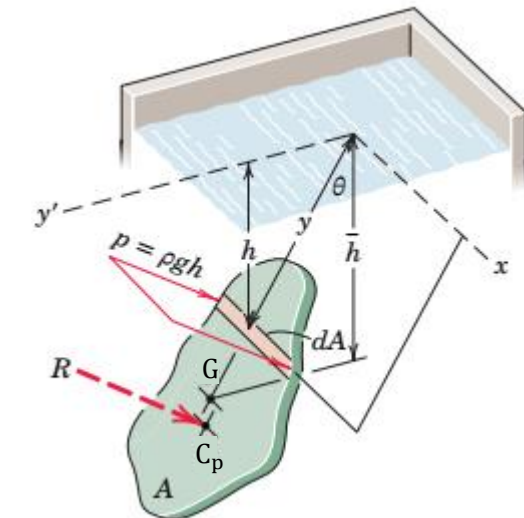
- **A resultante das forças hidrostáticas é normal à superfície, de compressão e igual ao volume do prisma de pressões.**



□ Hidrostática

➤ Superfícies Planas com Geometria Genérica

- Como o **sistema de forças hidrostáticas** constituído é um sistema de forças paralelas, ele **pode ser reduzido a uma única força \vec{R}** aplicada em qualquer ponto do seu Eixo Central.
- Um ponto fisicamente conveniente para a aplicação de \vec{R} corresponde ao ponto de **intersecção do Eixo Central com a superfície**. Esse ponto recebe o nome de **centro de pressão C_p** .
- Atenção para a distinção entre:
 - centro de pressão (C_p), localizado na superfície;
 - centro de massa (G) ou baricentro da superfície (C);
 - centro de forças paralelas do sistema de forças (C^*), **não** localizado na superfície.



Superfície plana de geometria genérica submersa e sujeita a forças hidrostáticas. Fonte: adaptado de [1].



□ Hidrostática

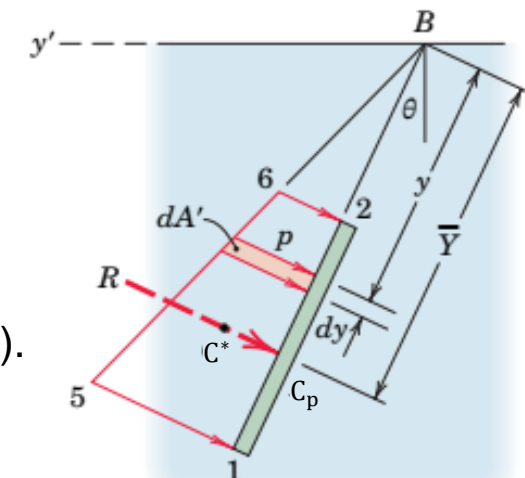
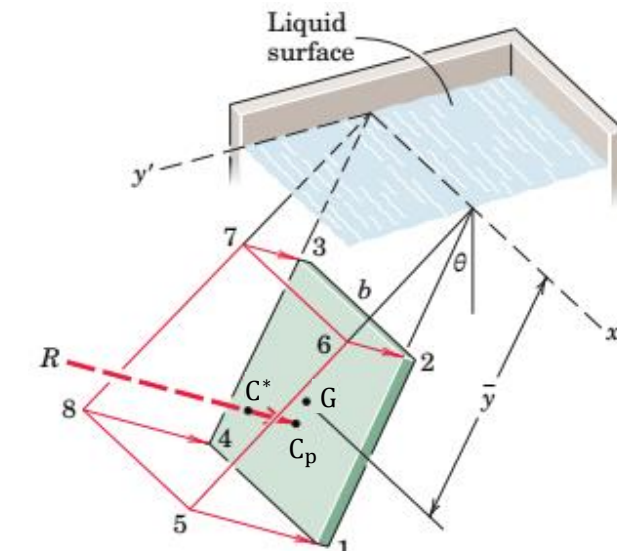
➤ Superfícies Planas Retangulares

- No caso de superfícies planas **retangulares** (largura constante), a distribuição de pressões em cada seção vertical normal à superfície é **idêntica**.
- Dessa forma, a análise do problema pode ser realizada a partir da vista 2D de uma seção vertical normal à superfície (plano $y'z$).
- Se b é a largura da superfície retangular (direção x), a força resultante pode ser calculada, como segue:

$$R = \int p(x, y) dA = \int p(x, y) b dy = b \underbrace{\int p(x, y) dy}_{\text{Área da seção vertical normal à superfície } (A')} \Rightarrow R = b A'$$

$\underbrace{A'}_{\text{Volume do prisma de pressões}}$

- Não confundir a área da seção vertical (A') com a área da superfície retangular ($A = bL$).
- Para a solução do problema no plano definido pela seção vertical, e admitindo um sistema de coordenadas com um dos eixos alinhado com a direção y , basta determinar apenas a coordenada y_{C_p} do centro de pressão.

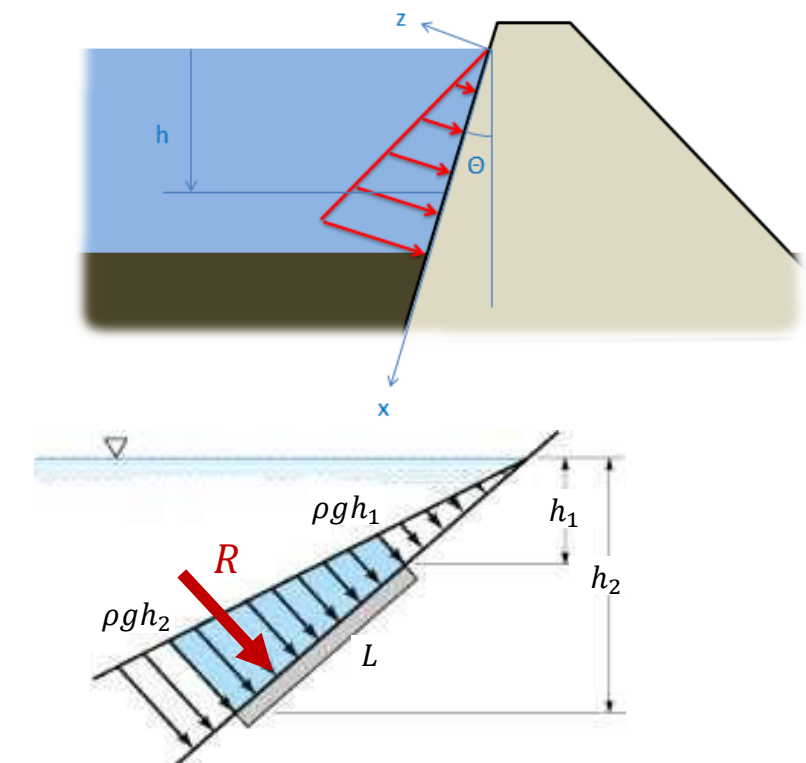
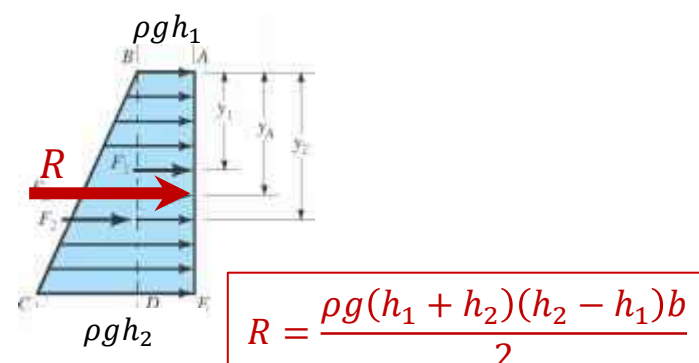
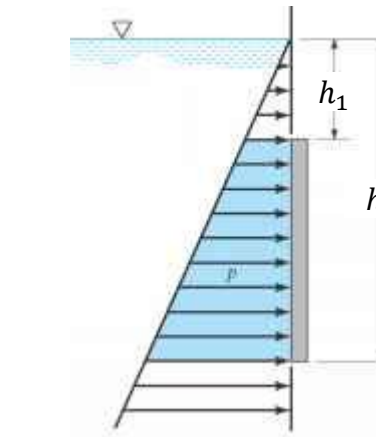
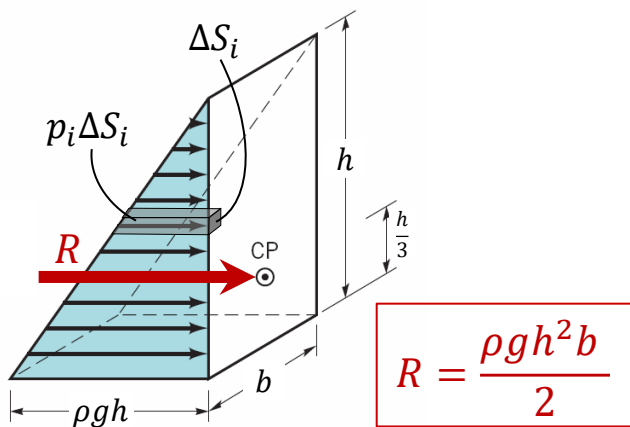
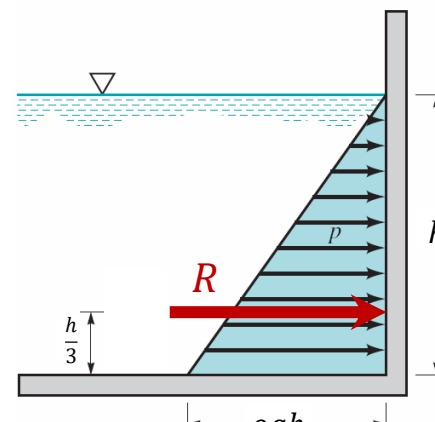


Superfície plana retangular submersa e sujeita a forças hidrostáticas. Fonte: adaptado de [1].



□ Hidrostática

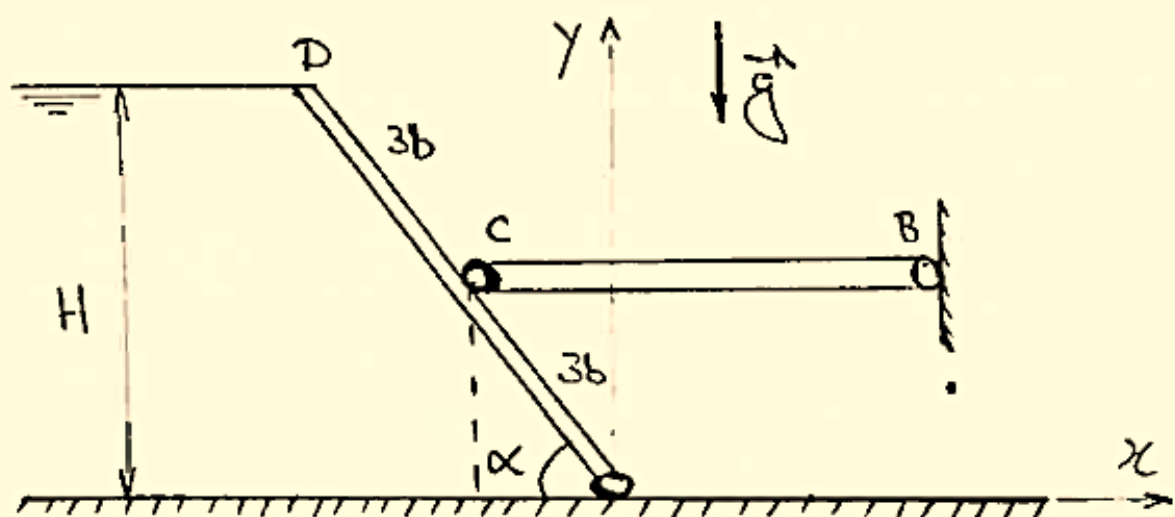
➤ Superfícies Planas Retangulares



$$R = \frac{\rho g (h_1 + h_2)Lb}{2}$$



□ Exercício 3



- Canal de largura "15b" (direção z), desprendido de uma placa retangular de altura ABD .
- Escora horizontalis BC separadas à distância " b " ao longo da largura "15b"
- Peso da placa " P ".

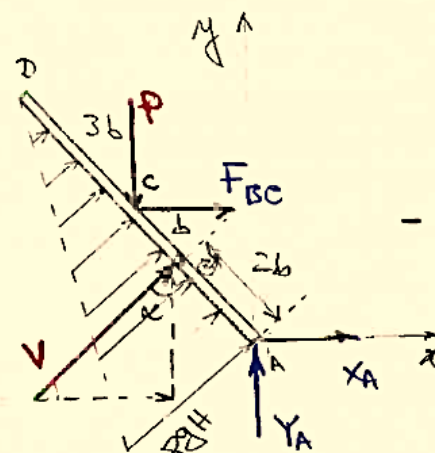
Pede-se: Calcular a força de compressão em cada suporte.



□ Exercício 3 (cont.)

1) Sistema: placa isódelta, (N° eqs = 2; N° incog. = 3)

2) DCL da placa



- As escoras BC não admitem como pôrde lances de fuligos, pois não há carregamentos laterais atuantes sobre os mesmos.
- Hidrostático:

$V \Rightarrow$ volume do prisma de pressão:

$$V = \frac{\pi g H \cdot 8b}{12} \cdot 15b = \frac{\pi g H^2 \cdot 15}{12}, \quad H = 6.68 \sin \alpha$$

$$V = 270 \pi g b^3 \sin \alpha$$

- Ponto de aplicação de V : coordenadas

$$Y_{\text{ap}} = \frac{1}{3} \cdot 6.68 = 2.22 \text{ da base para o volume}$$

de pressão.



□ Exercício 3 (cont.)

3) Equações de Equilíbrio

$$\vec{R} = \vec{0}, \quad \vec{M}_A = \vec{0}$$

$$R_x = 0 : X_A + F_{BC} \cos \alpha - V \sin \alpha = 0$$

$$R_y = 0 : Y_A - P + V \cos \alpha = 0 \quad \checkmark$$

$$M_A = 0 : -V \cdot 2b - F_{BC} 3b \sin \alpha + P \cdot 3b \cos \alpha = 0 \quad \checkmark$$



□ Exercício 3 (cont.)

4) Solução do Sistema Linear

$$Y_A = P - 270 \rho g b^3 \sin x \cos x \Rightarrow Y_A = P - 135 \rho g b^3 \sin 2x$$

$$F_{BC} \cdot 35 \sin x = 35 \cos x P - 26 \cdot 270 \rho g b^3 \sin x$$

$$F_{BC} = \frac{35 \cos x P}{35 \sin x} - \frac{26 \cdot 270 \rho g b^3 \sin x}{35 \sin x} \Rightarrow F_{BC} = \frac{P}{\tan x} - 180 \rho g b^3$$

$$X_A = -F_{BC} - V \sin x = 180 \rho g b^3 - \frac{P}{\tan x} - 270 \rho g b^3 \sin x$$

$$X_A = 90 \rho g b^3 (\alpha - 3 \sin^2 x) - \frac{P}{\tan x}$$



□ Exercício 3 (cont.)

- A força F_{BC} coludida cima equivale ao esforço total suportado por todos os escoras.
Portanto, em cada escora, temos:

$$\frac{F'_c}{F_{BC}} = \frac{16}{15+1} \Rightarrow F'_{BC} = \frac{P}{16 \tan \alpha} - \frac{45 P g b^3}{4}$$

$F'_{BC} > 0$: tração

$F'_{BC} < 0$: compressão (mais provável, pois a força hidrostática tende a ser muito maior que o peso da placa).
(α + inflamação em P)

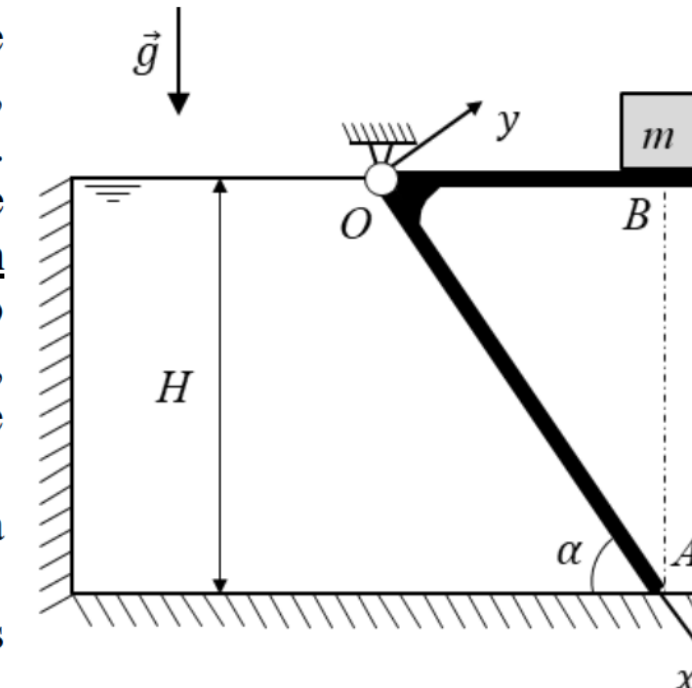


□ Exercício 4

2018R – P1 – Q2

2^a Questão (3,0 pontos). A figura mostra a seção transversal de um reservatório, de largura L (ortogonal ao plano da figura), projetado para armazenar um fluido ideal de densidade ρ (kg/m^3). O fluido é mantido no reservatório por meio da comporta AOB , de massa desprezível, articulada em O e apoiada no solo em A , sem atrito. A altura máxima H de fluido que pode ser armazenado no reservatório é controlada por um contrapeso, de massa m (kg), situado na extremidade B da comporta. A aceleração da gravidade é g (m/s^2). Nestas condições, pede-se:

- construir o diagrama de forças hidrostáticas atuantes sobre a superfície AO ;
- determinar a resultante R do sistema de forças hidrostáticas considerado no item (a);
- determinar a abscissa x do centro de pressões do sistema de forças hidrostáticas considerado no item (a);
- desenhar o diagrama de corpo livre da comporta AOB ;
- determinar o esforço atuante no ponto de apoio A ;
- determinar o valor mínimo da massa do contrapeso necessária para manter o sistema sempre em equilíbrio estático.

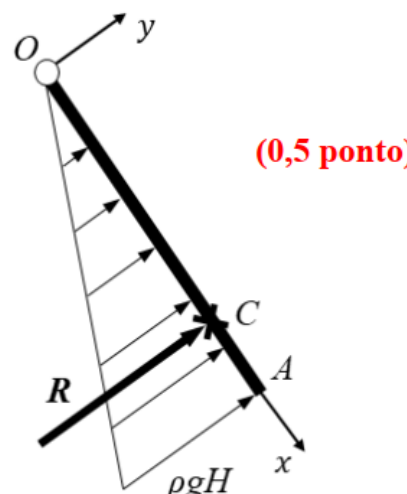




□ Exercício 4

2018R – P1 – Q2

(a) O diagrama de forças hidrostáticas atuantes sobre a superfície AO é ilustrado abaixo:



(0,5 ponto)

(b) A resultante R do sistema de forças hidrostáticas corresponde ao volume do prisma de pressões, cuja seção transversal é ilustrada na solução do item a):

$$R \equiv \text{volume do prisma de pressões} \Rightarrow R = \frac{\rho g H^2 L}{2 \sin \alpha} \quad (0,5 \text{ ponto})$$

(c) A abscissa x do centro de pressões C do sistema de forças hidrostáticas corresponde à projeção, na superfície AO , do baricentro da seção transversal do prisma de pressões ilustrada na solução do item a). Portanto:

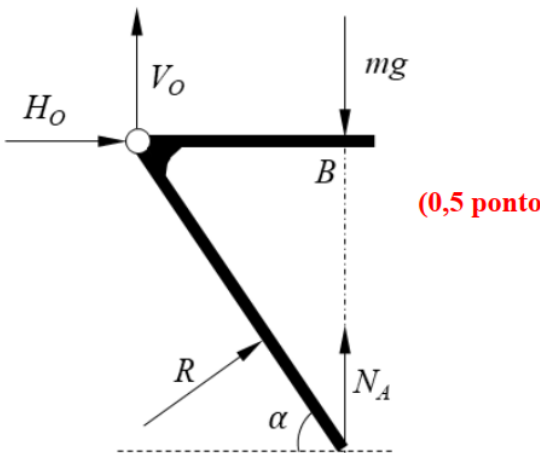
$$x_C = \frac{2H}{3 \sin \alpha} \quad (0,5 \text{ ponto})$$



□ Exercício 4

2018R – P1 – Q2

(d) O diagrama de corpo livre da comporta AOB é ilustrado abaixo:



(0,5 ponto)

(e) Calculando o momento resultante com respeito ao pólo O , e considerando a condição de equilíbrio estático, tem-se:

$$\sum \vec{M}_O = -mg \frac{H}{\tan \alpha} + N_A \frac{H}{\tan \alpha} + Rx_C = 0$$

$$-mg \frac{H}{\tan \alpha} + N_A \frac{H}{\tan \alpha} + \left(\frac{\rho g H^2 L}{2 \sin \alpha} \right) \frac{2H}{3 \sin \alpha} = 0 \quad \Rightarrow \quad N_A = mg - \frac{\rho g H^2 L}{3 \sin \alpha \cos \alpha} \quad (0,5 \text{ ponto})$$

(f) Para o sistema permanecer sempre em equilíbrio estático, a seguinte condição deve ser satisfeita:

$$N_A \geq 0 \quad \Rightarrow \quad m \geq \frac{\rho H^2 L}{3 \sin \alpha \cos \alpha} \quad (0,5 \text{ ponto})$$

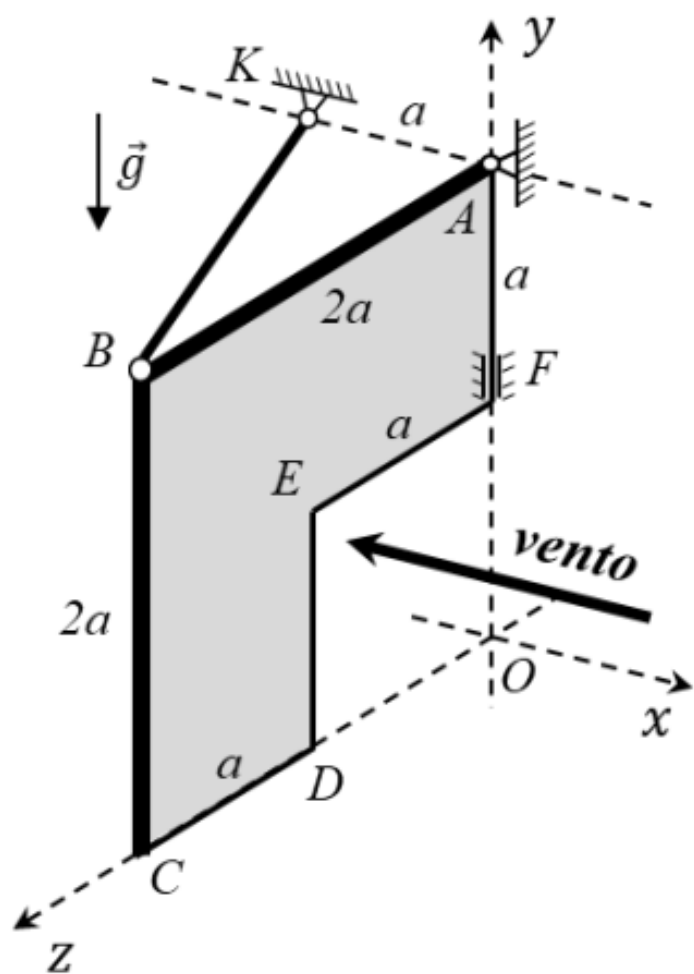


□ Exercício 5

Questão 3 (3,5 pontos). A figura ao lado mostra um letreiro constituído por uma placa homogênea $ABCDEF$ localizada no plano vertical Oyz . A placa possui peso $3P$, e é sustentada por uma articulação no ponto A , um anel em F e por uma barra biarticulada BK de massa desprezível. A barra BK está localizada em um plano horizontal paralelo a Oxz . Além do peso próprio, a placa é atingida por um vento lateral na direção do eixo Ox . Admitindo-se que, por simplicidade, o campo de pressão p aplicado pelo vento seja constante e uniformemente distribuído sobre superfície da placa:

- Determine a posição do centro de massa ($G - O$);
- Determine a força V equivalente à ação do vento sobre a placa, bem como o seu ponto de aplicação;
- Construa o diagrama de corpo livre da placa;
- Determine as forças atuantes no ponto A da placa.

2017 – P1 – Q3





□ Exercício 5 (cont.)

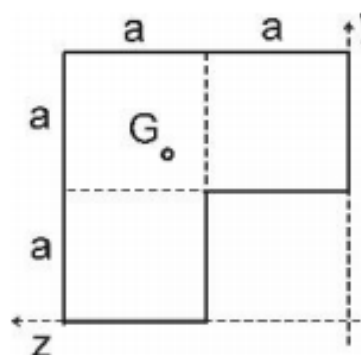
2017 – P1 – Q3

(a) Para o baricentro G temos: **(0,5)**

$$x_G = 0$$

$$y_G = \frac{P\frac{a}{2} + 2P\frac{3a}{2}}{3P} = \frac{a+6a}{6} = \frac{7a}{6}$$

$$z_G = \frac{P\frac{a}{2} + 2P\frac{3a}{2}}{3P} = \frac{7a}{6}$$



(b) pressão constante: $V = 3a^2 p$ **(0,5)**

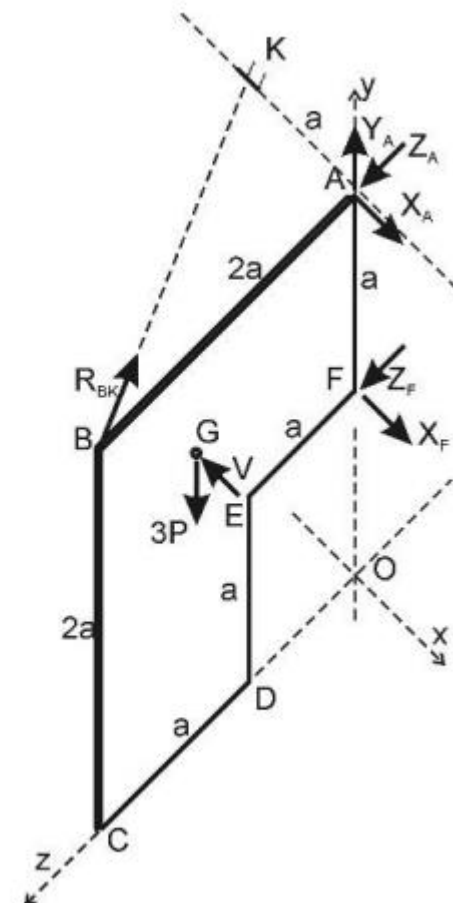
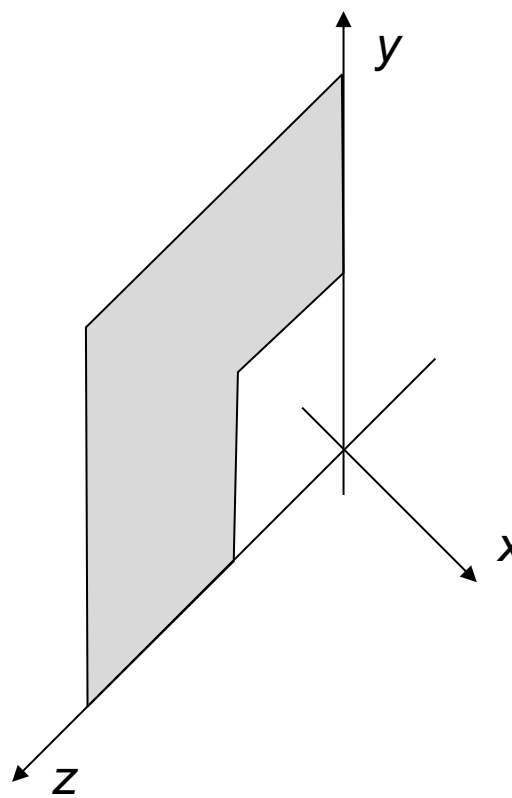
O centro das forças de pressão é o próprio baricentro da placa; portanto, a resposta é:

$$\vec{V} = -3a^2 p \vec{i}_z, \text{ aplicada em } G = \left(0; \frac{7a}{6}; \frac{7a}{6}\right) \quad \text{(0,5)}$$



□ Exercício 5 (cont.)

2017 – P1 – Q3





□ Exercício 5 (cont.)

2017 – P1 – Q3

d) Para o equilíbrio da placa, temos:

$$\vec{F}_A = X_A \vec{i} + Y_A \vec{j} + Z_A \vec{k}; \quad A(0; 2a; 0)$$

$$\vec{F}_B = \vec{R}_{BK} = -R_{BK} \left(\frac{1}{\sqrt{5}} \vec{i} + \frac{2}{\sqrt{5}} \vec{k} \right); \quad B(0; 2a; 2a)$$

$$\vec{F}_F = X_F \vec{i} + Z_F \vec{k}; \quad F(0; a; 0)$$

$$\vec{F}_G = -V \vec{i} - 3P \vec{j}; \quad G \left(0; \frac{7a}{6}; \frac{7a}{6} \right)$$

$\sum \vec{F} = \vec{0}$:

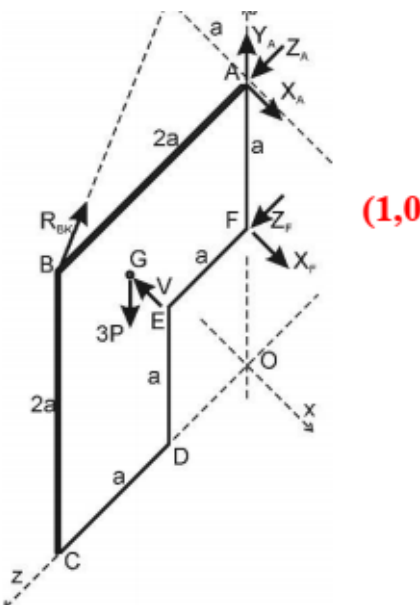
$$\vec{F}_A + \vec{F}_B + \vec{F}_F + \vec{F}_G = \vec{0} \Rightarrow$$

$$\Rightarrow \begin{cases} X_A - R_{BK} \frac{1}{\sqrt{5}} - V + X_F = 0 \\ Y_A - 3P = 0 \\ Z_A - R_{BK} \frac{2}{\sqrt{5}} + Z_F = 0 \end{cases} \quad (0,5)$$

$\sum \vec{M}_F = \vec{0}$:

$$(A - F) \wedge \vec{F}_A + (B - F) \wedge \vec{F}_B + (F - F) \wedge \vec{F}_F + (G - F) \wedge \vec{F}_G = \vec{0} \Rightarrow$$

$$\Rightarrow \begin{cases} aZ_A - a \frac{2R_{BK}}{\sqrt{5}} + \frac{7a}{6} 3P = 0 \\ -2a \frac{R_{BK}}{\sqrt{5}} - \frac{7a}{6} V = 0 \\ -aX_A + a \frac{R_{BK}}{\sqrt{5}} + \frac{a}{6} V = 0 \end{cases} \quad (0,5)$$



(1,0)

Resolvendo:

$$R_{BK} = -\frac{7\sqrt{5}}{12}V; \quad X_A = -\frac{5V}{12}; \quad Y_A = 3P; \quad Z_A = -\frac{7}{6}(3P + V)$$

Resposta:

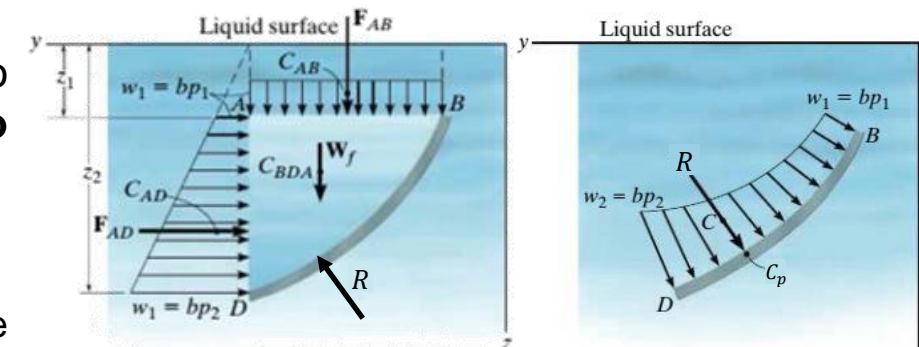
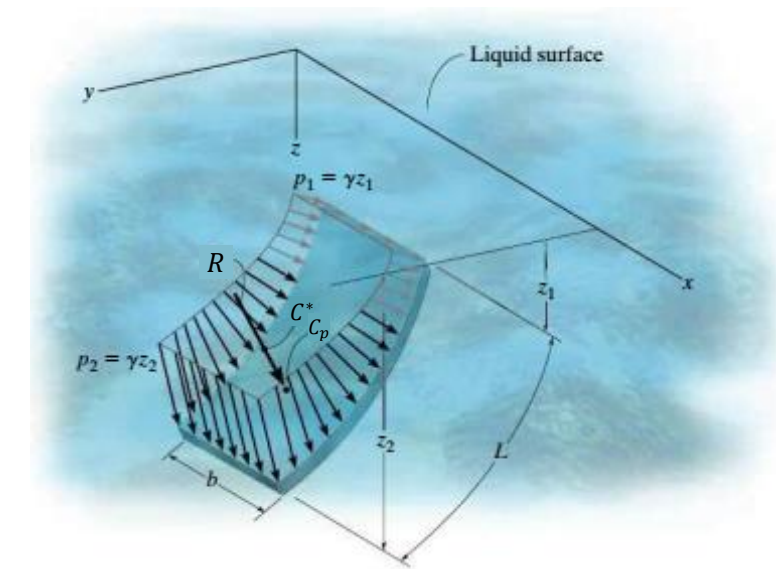
$$\vec{F}_A = -\left(\frac{5V}{12}\right) \vec{i} + (3P) \vec{j} - \left[\frac{7(3P + V)}{6}\right] \vec{k} = -\left(\frac{5a^2 p}{4}\right) \vec{i} + (3P) \vec{j} - \left[\frac{7(3P + 3a^2 p)}{6}\right] \vec{k}$$



□ Hidrostática

➤ Superfícies Curvas Cilíndricas

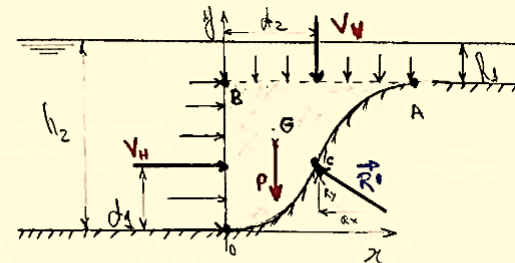
- A ação da pressão hidrostática sobre **superfícies curvas cilíndricas** (largura constante) submersas **não** mais constitui um sistema de **forças paralelas** distribuídas.
- As forças hidrostáticas continuam agindo na direção normal às superfícies, porém as direções **entre** as forças não são mais paralelas.
- Os conceitos definidos para sistemas de forças paralelas **não** se aplicam a esses casos.
- A determinação da magnitude da força resultante (\vec{R}) e da posição do centro de pressão (C_p) é realizada considerando o **equilíbrio do volume de líquido delimitado pela superfície curva**.
 - As duas componentes de \vec{R} são obtidas pelo equilíbrio de forças;
 - As duas componentes C_p são obtidas pelo equilíbrio de momento, e pela **intersecção** da linha de ação de \vec{R} com a curva BD .



Placa curva cilíndrica submersa sujeita a forças hidrostáticas.
Fonte: adaptado de [6].



Exercício 4



- Função $y(x) = f(x)$ que define a curva OA é conhecida.

- Considerando as condições para o equilíbrio hidrostático: $\vec{R} = \vec{0}$ e $\vec{M}_o = \vec{0}$:

$$R_x = 0 : V_H - R'_x = 0 \quad \therefore \quad R'_x = V_H$$

$$R_y = 0 : -P - V_v + R'_y = 0 \quad \therefore \quad R'_y = P + V_v$$

$$M_o^z = 0 : -V_H d_1 - V_v d_2 - P x_G + R'_y x_C + R'_x y_C = 0$$

$$R'_x y_C + R'_y x_C = P x_G + V_H d_1 + V_v d_2 \Rightarrow y_C(x_C)$$

- A solução da problema consiste em:

- 1) Determinação de R' de forma a manter o volume de líquido delimitado por OAB em equilíbrio.
- 2) Ponto de aplicação C obtido pela intersecção da linha de ação de \vec{R}' e a superfície.

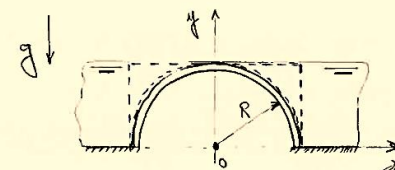
Nota: V_H e V_v não condensam
utilizando os conceitos de hidrostática para superfícies planas.

- A equação acima corresponde à equação da linha de ação do resultado \vec{R}'
- O ponto C de aplicação da resultante pode ser determinado pela intersecção da linha de ação de \vec{R}' e a curva OA, $y(x) \equiv y_C(x_C)$.



□ Exercício 5

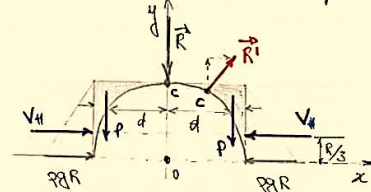
* Exercício



(8)

- Tubo cilíndrico de comprimento $L \ll R$, pivoteado em órgão.
- Reduzir a distância a única força.

- Considere o DCL do volume de líquido que delimita o falso cilindro:



$$R_y^1 x_c - R_x^1 y_c = 0 \Rightarrow 2P x_c = 0$$

- Equações de Equilíbrio

$$F_x = 0 : V_H - V_H + R_x^1 = 0 \therefore R_x^1 = 0 /$$

$$F_y = 0 : -2P + R_y^1 = 0 \therefore R_y^1 = 2P /$$

$$M_O^2 = 0 : -\frac{V_H R}{3} + \frac{V_H R}{3} + Pd - Pd + R_y^1 x_c - R_x^1 y_c = 0 \\ (\text{simetria})$$

$$x_c = 0 \therefore y_c = R$$

- Portanto, P pode ser determinado em função dos parâmetros do problema:

$$2P = M_O^2 = \rho V_L g = \rho g (2R \cdot R - \pi R^2/2)L = \rho g (2R^2 - \frac{\pi R^2}{2})L$$

- Portanto, o sistema acima é reduzido a uma única força, tal que:

$$\vec{F} = -\rho g \left(2R^2 - \frac{\pi R^2}{2}\right) L \hat{j}$$

$$x_c = 0$$

$$y_c = R$$



Exercício 6

- Tubo cilíndrico de comprimento L e raio R submerso em óleo

- Reduzir o sistema a umas forças.

- Desenhe o DCL do volume de líquido que deslizou o tubo:

- Equações de Equilíbrio

$$\begin{cases} \sum F_x = 0 : V_H - R_x^1 = 0 \Rightarrow R_x^1 = V_H \\ \sum F_y = 0 : -\gamma P + V_V - R_y^1 = 0 \Rightarrow R_y^1 = V_V - \gamma P \\ \sum M_o = 0 : V_H \frac{R}{3} - V_V \frac{R}{2} + \gamma P x_G + R_y^1 x_G - R_x^1 x_C = 0 \end{cases}$$

- (Obtendo V_H, V_V, P, x_G):

$$V_H = \frac{\gamma \pi R^2 RL}{2} = \frac{\gamma \pi R^2 L}{2}$$
$$P = m_{ig} = \gamma V_L = \gamma (CRR - \pi R^2/2)L$$
$$\gamma P = \gamma \pi R^2 (2 - \pi/2)L$$
$$V_V = \gamma \pi R^2 RL = \frac{\gamma \pi R^2 L}{2}$$
$$(A_0 - A_0) x_G = A_0 x_G - A_0 x_C^* \Rightarrow (\pi R^2 - \pi R^2/2) x_G = \pi R^2 \frac{R}{2} - \frac{\pi R^2}{2} \cdot \left(-\frac{4R}{3\pi}\right)$$
$$\left(2 - \frac{\pi}{2}\right) x_G = -\frac{\pi R}{3} + \frac{2R}{3} = \frac{-R}{3} \Rightarrow x_G = \frac{-R}{3(2 - \pi/2)}$$
$$R_x^1 = \frac{\gamma \pi R^2 L}{2}$$
$$R_y^1 = \gamma L R^2 \frac{\pi}{2}$$



Conteúdo

1. Motivação e Objetivos
2. Forças Distribuídas
3. Sistemas de Forças Paralelas
4. Centro de Gravidade, Centro de Massa e Baricentro
5. Hidrostática
- 6. Referências**

□ Referências

- [1] Merian J.L., Kraige L.G., Bolton, J.N. **Engineering Mechanics – Vol. 1 Statics**, 9th edition, John Wiley & Sons, Inc. 2018.
- [2] Tenenbaum, R. A. **Fundamentals of Applied Dynamics**, Springer-Verlag New York, Inc. 2004.
- [3] Palanivelu, S., Narasimha Rao, K. V., & Ramarathnam, K. K. (2015). Determination of rolling tyre modal parameters using Finite Element techniques and Operational Modal Analysis. *Mechanical Systems and Signal Processing*, 64-65, 385–402. <https://doi.org/10.1016/j.ymssp.2015.04.006>.
- [4] Yang W., Lin J., Gao N.-N., Yan, R. Experimental Study on the Static Behavior of Reinforced Warren Circular Hollow Section (CHS) Tubular Trusses. *Appl. Sci.* 2018, 8, 2237. <https://doi.org/10.3390/app8112237>.
- [5] Catálogo IDEA StatiCa – Structural Design of Steel Connections and Joints. www.ideastatica.com.
- [6] Hibbeler R.C. **Engineering Mechanics – Vol. 1 Statics**, 14th edition in SI units, Pearson Education, Inc. 2017.